

УДК 535.375

©1995

ОПТИЧЕСКИЕ ФОНОНЫ В СОЕДИНЕНИЯХ $\text{GdBa}_2\text{Cu}_3\text{O}_{7-\delta}$

*Ю.М.Байков, Л.В.Лайшева, М.Ф.Лимонов,
А.П.Миргородский, П.П.Сырников*

Физико-технический институт им. А.Ф.Иоффе Российской академии наук,
194021, Санкт-Петербург, Россия
(Поступила в Редакцию 24 мая 1995 г.)

Выполнено экспериментальное исследование спектров комбинационного рассеяния света в соединениях $\text{GdBa}_2\text{Cu}_3\text{O}_{7-\delta}$. Показано, что концентрационное поведение частот колебаний атомов кислорода определяется «волнообразной» перестройкой решетки, которая происходит при изменении содержания кислорода δ . Построена модель, описывающая потенциальную функцию кристаллических решеток $\text{GdBa}_2\text{Cu}_3\text{O}_7$ и $\text{GdBa}_2\text{Cu}_3\text{O}_6$. В рамках этой модели рассчитаны оптические частоты и формы колебаний в центре зоны Бриллюэна, а также дисперсия колебательных ветвей по направлениям $\Gamma-Z$, $\Gamma-Y$, $\Gamma-M$. Продемонстрирована применимость слоевого подхода к анализу колебательной подсистемы $\text{GdBa}_2\text{Cu}_3\text{O}_{7-\delta}$.

В работах [1–3] был предложен новый «слоевой» подход к обсуждению свойств фононной подсистемы соединения $\text{YBa}_2\text{Cu}_3\text{O}_{7-\delta}$: учет слоистого строения этих кристаллов позволил получить дополнительную информацию и интерпретировать целый ряд экспериментальных результатов. В частности, было показано, что колебания в центре зоны Бриллюэна можно разделить на акустические Γ_{ac} , межслоевые оптические Γ_{inter} и внутрислоевые оптические Γ_{intra} :

$$\Gamma = 3\Gamma_{ac} + 3(N_L - 1)\Gamma_{inter} + 3(N_A - N_L)\Gamma_{intra}, \quad (1)$$

где N_L и N_A — число слоев и атомов в примитивной ячейке. Разница между межслоевыми и внутрислоевыми колебаниями состоит в следующем. Межслоевые оптические колебания определяются смещениями отдельных слоев структуры как целого друг относительно друга и обладают заметной дисперсией по всем направлениям зоны Бриллюэна. Внутрислоевые оптические колебания соответствуют смещениям атомов, принадлежащих слою определенного состава и являются бездисперсными по направлению $\Gamma-Z$, перпендикулярному плоскости слоев структуры $\text{YBa}_2\text{Cu}_3\text{O}_{7-\delta}$.

Эти выводы были сделаны на основе результатов теоретико-группового анализа и динамических расчетов. Целью настоящей работы является применение «слоевого» подхода к анализу колебательных спектров перовскито-подобных сверхпроводников состава $\text{GdBa}_2\text{Cu}_3\text{O}_{7-\delta}$ на основе модели, предложенной в [1] для описания потенциальной функции решетки $\text{YBa}_2\text{Cu}_3\text{O}_7$.

1. Синтез образцов и определение содержания кислорода

Синтез образцов проводился по обычной керамической технологии. В качестве исходных реагентов использовались Gd_2O_3 , CuO и $\text{Ba}(\text{NO}_3)_2$ марки ОСЧ. Нитрит бария, а не чаще используемый в других работах BaCO_3 , был предпочтен из-за более низкой температуры образования сверхпроводящей фазы и отсутствия в конечном продукте остатков карбонатов из-за более высокой температуры их разложения.

Образцы приготавливались в два этапа. Предварительно взвешенные и растертые исходные реагенты обжигались в корундовом или платиновом стакане при температуре около 700°C . Далее шихта снова перемешивалась и из нее прессовались таблетки, которые обжигались при $T_{\max} \simeq 900 - 910^\circ\text{C}$.

Полученный таким способом керамический материал содержит, как правило, дополнительные примеси (такие как газы H_2O , CO_2 , CO), проявляющиеся при термовакуумной обработке. В наших исходных материалах суммарное содержание этих компонент составляло 10 мольных процентов на формульную единицу для исходных образцов, при прессовании которых использовался поливиниловый спирт и 5 mol% для образцов, прессованных без применения спирта. Обычно в литературе, посвященной изучению объемных свойств, роль этих примесей не обсуждается, так как, по-видимому, предполагается, что эти примеси связаны только с границами зерен и межзеренным пространством. Даже если бы это было так, наличие этих примесей существенно мешало бы точному определению содержания кислорода в образце при использовании весового анализа после термовакуумной обработки. Действительно, удаление 1 мольного процента H_2O или 1 мольного процента CO_2 может быть истолковано как понижение содержания кислорода ($7 - \delta$) на -0.01 и -0.03 соответственно. В результате масс-спектрометрического анализа было установлено: если отжиг производится при температуре до 700°C , то в обоих исследуемых исходных материалах примесь состояла из H_2O и CO_2 , причем содержание «воды» оказалось примерно одинаковым — 3 мольных процента. В результате при термовакуумной обработке потеря веса за счет удаления H_2O и CO_2 составляла для сухопрессованных образцов 0.19% и для прессованных со спиртом — 0.49%. Эти изменения могли бы быть приняты за изменения содержания кислорода $\Delta\delta = -0.09$ и -0.22 соответственно. Для исключения подобного рода ошибок исходные материалы проходили две дополнительные обработки. Первая — термовакуумная, т. е. нагрев до 750°C в вакууме, в ходе которой происходило не только удаление H_2O и CO_2 , но и кислорода до состава $7 - \delta = 6.15$. (Состав определялся иодометрически и разложением водородом при 1000°C). Этот процесс не преследовал цель полного удаления кислорода. Вторая обработка состояла в восстановлении высокого содержания кислорода путем нагрева в атмосфере кислорода, дополнительного очищенного от паров воды и CO_2 конденсацией и реиспарением при температуре жидкого азота. После этой обработки содержание кислорода по данным иодометрии составляло 6.93 ± 0.02 , а содержание воды и CO_2 не превышало 0.1 мольного процента на формульную единицу (фактически это был предел чувствительности использованной нами аналитической методики).

Обработанный таким образом материал служил исходным для получения кислород-дефицитных образцов. При термовакуумной обработке исходные образцы помещались в предварительно откачанный реактор объемом примерно 100 cm^3 , соединенный с калиброванным сосудом емкостью около 1 l. При нагревании выше 350°C кислород начинал выделяться из образца. После этого подъем температуры производился ступенчато, только после установления стационарного (равновесного с твердой фазой) давления кислорода, чтобы выделить требуемое количество кислорода и быть уверенным, что распределение кислорода в образце равномерное (при равновесии газ–твердое тело). После этого реактор отключался от калиброванной емкости и температура снижалась до комнатной. После повторного соединения реактора с калиброванной емкостью определялось полное количество выделенного кислорода. Далее проводилось определение потери кислорода образцом другим способом — взвешиванием образца после обработки. Как правило, оба результата для величины δ совпадали во втором или даже в третьем знаке после запятой.

В заключение необходимо подчеркнуть, что все приведенные значения δ относятся к случаю абсолютно точного стехиометрического соотношения $\text{Y} : \text{Ba} : \text{Cu} = 1 : 2 : 3$ в образцах. Конкретно для образцов, исследованных в настоящей работе, это соотношение не проверялось, но использование многократно апробированной методики синтеза позволяет предполагать достаточно точное соблюдение этого соотношения.

2. Экспериментальное исследование спектров комбинационного рассеяния света

Спектры комбинационного рассеяния (КР) света керамических образцов $\text{GdBa}_2\text{Cu}_3\text{O}_{7-\delta}$ исследовались на тройном Раман-спектрометре Dilor Z-24 с аргоновым лазером Spectra-Physics ($\lambda = 5145 \text{ \AA}$, $P \leq 50 \text{ mW}$ на образце). Измерения проводились при комнатной температуре.

Полученные спектры КР образцов с различным содержанием кислорода приведены на рис. 1, а концентрационные зависимости частот колебаний, определяемых атомами кислорода, — на рис. 2. Спектры КР соединения $\text{GdBa}_2\text{Cu}_3\text{O}_{6.93}$ (образец с максимальным содержанием кислорода) хорошо совпадают с известными из литературы [4,5]. В частности, в спектральной области колебаний атомов кислорода наблюдаются три относительно интенсивные линии $\nu_1 \cong 329 \text{ cm}^{-1}$, $\nu_2 = 433 \text{ cm}^{-1}$ и $\nu_3 = 508 \text{ cm}^{-1}$. Известно, что эти линии связаны с колебаниями симметрии A_g и определяются синфазными (ν_1) и антрафазными (ν_2) смещениями атомов O_{Cu} по оси z , а также синфазными колебаниями по оси z атомов O_{Ba} (ν_3) (см., например, обзор [3]).

В данной статье мы будем использовать обозначения атомов, которые были введены в обзоре [3]: атом кислорода, принадлежащий определенному слою металл–кислород, будет обозначаться как O с нижним индексом, указывающим на соответствующий атом металла.

При промежуточных концентрациях кислорода δ в спектрах КР наблюдается так называемое одномодовое поведение оптических колебаний: каждому из трех колебаний $\nu_1 - \nu_3$ в спектрах $\text{GdBa}_2\text{Cu}_3\text{O}_{7-\delta}$

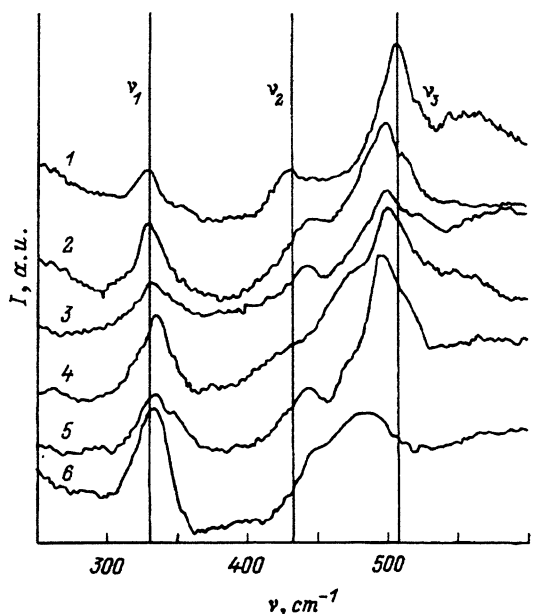


Рис. 1. Спектры КР соединений $\text{GdBa}_2\text{Cu}_3\text{O}_{7-\delta}$, где $\delta = 0.07$ (1), 0.16 (2), 0.18 (3), 0.30 (4), 0.36 (5), 0.52 (6), при $T = 300$ К.

Тремя вертикальными линиями обозначено положение частот $\nu_1 - \nu_3$ в исходном соединении $\text{GdBa}_2\text{Cu}_3\text{O}_{6.93}$.

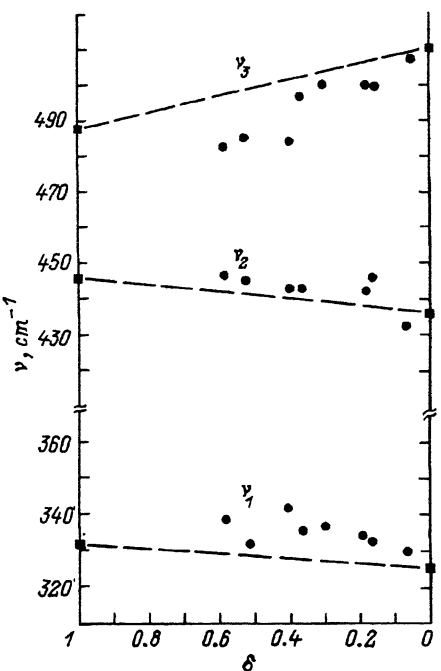


Рис. 2. Концентрационные зависимости частот $\nu_1 - \nu_3$ в соединениях $\text{GdBa}_2\text{Cu}_3\text{O}_{7-\delta}$. Кружки — экспериментальные данные, квадраты, соединенные штриховыми линиями, — результаты расчета.

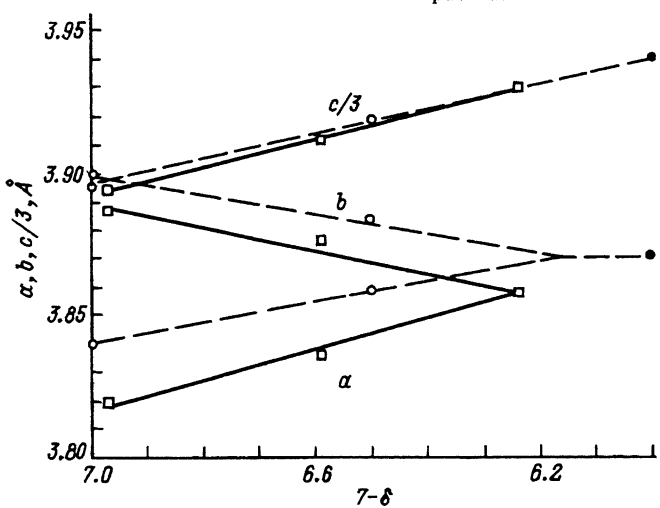


Рис. 3. Зависимость параметров решетки a , b и c от содержания кислорода.

Квадраты — данные [⁹] для $\text{YBa}_2\text{Cu}_3\text{O}_{6.97}$, $\text{YBa}_2\text{Cu}_3\text{O}_{6.59}$, $\text{YBa}_2\text{Cu}_3\text{O}_{6.24}$ (эксперимент), светлые кружки — данные [⁷] для $\text{GdBa}_2\text{Cu}_3\text{O}_7$ и [⁸] для $\text{GdBa}_2\text{Cu}_3\text{O}_5$ (эксперимент), темные кружки — данные для $\text{GdBa}_2\text{Cu}_3\text{O}_6$ (расчет).

Таблица 1

Параметры элементарных ячеек a , b , c ,
межатомные расстояния $z(\text{Cu}-\text{Cu}1)$, $z(\text{Gd}-\text{Ba})$ (Å) и
 z/c -координаты атомов в кристаллах $\text{GdBa}_2\text{Cu}_3\text{O}_{7-\delta}$

	$\text{GdBa}_2\text{Cu}_3\text{O}_7$ [7]	$\text{GdBa}_2\text{Cu}_3\text{O}_{6.5}$ [8]	$\text{GdBa}_2\text{Cu}_3\text{O}_6$, расчет
a	3.840	3.859	3.872
b	3.896	3.885	3.872
c	11.696	11.759	11.822
$z(\text{Cu}-\text{Cu}1)$	4.131	4.183	4.235
$z(\text{Gd}-\text{Ba})$	3.704	3.662	3.619
$z(\text{Gd})$	0.5	0.5	0.5
$z(\text{Ba})$	0.1833	0.1886	0.1939
$z(\text{Cu})$	0.3532	0.3557	0.3582
$z(\text{O}_{\text{Cu}})$	0.369	0.3744	0.3771
$z(\text{O}'_{\text{Cu}})$	0.377	0.3757	0.3771
$z(\text{O}_{\text{Ba}})$	0.164	0.1563	0.1486
$z(\text{Cu}1)$	0	0	0

соответствует лишь одна линия (рис. 1). При этом они проявляют различное концентрационное поведение: с ростом δ частоты ν_1 и ν_2 возрастают, а частота ν_3 уменьшается. Аналогичное поведение этих колебаний в спектрах КР соединений (123) при изменениях химического состава (замещениях Y редкоземельными атомами R; замена Ba \rightarrow Sr, Ca; Cu \rightarrow Al) связывалось с «волнообразной» перестройкой решетки, вызванной этими изменениями, т. е. неоднородной деформацией ее структурных фрагментов (сжатием одних и растяжением других) — [6].

Рассмотрим, как меняются межатомные расстояния в системе $\text{GdBa}_2\text{Cu}_3\text{O}_{7-\delta}$ при изменении содержания кислорода. Параметры решетки a , b , c и координаты атомов для $\text{GdBa}_2\text{Cu}_3\text{O}_7$ [7] и $\text{GdBa}_2\text{Cu}_3\text{O}_{6.5}$ [8] приведены в табл. 1. К сожалению, нам не известны результаты аналогичных структурных исследований для $\text{GdBa}_2\text{Cu}_3\text{O}_6$, поэтому в табл. 1 для этого соединения представлены параметры, рассчитанные нами с помощью линейной аппроксимации соответствующих значений для $\text{GdBa}_2\text{Cu}_3\text{O}_7$ и $\text{GdBa}_2\text{Cu}_3\text{O}_{6.5}$. Корректность такого подхода подтверждают результаты, представленные на рис. 3, где приведены значения a , b , c для гадолиниевого ряда и трех экспериментально исследованных структур иттриевого ряда $\text{YBa}_2\text{Cu}_3\text{O}_{6.97}$, $\text{YBa}_2\text{Cu}_3\text{O}_{6.59}$ и $\text{YBa}_2\text{Cu}_3\text{O}_{6.24}$ [9]. Видно, что в случае системы $\text{YBa}_2\text{Cu}_3\text{O}_{7-\delta}$ концентрационные зависимости постоянных решетки a , b и c можно описать в линейном приближении.

Проанализируем концентрационные зависимости межатомных расстояний по оси z , а именно — $z(\text{Cu}-\text{Cu}1)$ и $z(\text{Ba}-\text{Gd})$. Из табл. 1 следует, что с уменьшением содержания кислорода величина $z(\text{Cu}-\text{Cu}1)$ увеличивается, а $z(\text{Ba}-\text{Gd})$ — наоборот, уменьшается. Следовательно, атомы кислорода O_{Ba} , которые расположены между атомами Cu и Cu1 и определяют колебания ν_3 , попадают в область «растяжения» решетки. Определяющие колебания ν_1 и ν_2 атомы O_{Cu} и O'_{Cu} находятся между

плоскостями атомов Y и атомов Ba и расположены в области «сжатия» решетки. Этим и можно качественно объяснить различное концентрационное поведение кислородных мод — уменьшение ν_3 и возрастание ν_1 и ν_2 с увеличением дефицита кислорода δ .

3. Модель силового поля кристаллических решеток $GdBa_2Cu_3O_{7-\delta}$

Для расчета динамических свойств кристаллических решеток $GdBa_2Cu_3O_7$ и $GdBa_2Cu_3O_6$ была использована программа CRYME [10], ранее применявшаяся нами для описания динамических свойств со-

Таблица 2

Силовые константы и структурные параметры кристаллов
 $GdBa_2Cu_3O_7$ и $GdBa_2Cu_3O_6$ (расчет трехмерной
решетки и приближение изолированных слоев)

Атомы, определяющие взаимодействие	$GdBa_2Cu_3O_7$			$GdBa_2Cu_3O_6$		
	Длина (Å) или угол (deg)	Константа*		Длина (Å) или угол (deg)	Константа*	
		Крис- таль	Слой		Крис- таль	Слой
$S_1 Cu1-O_{Ba}$	1.918	1.5	0	1.757	2.3	0.
$S_2 Cu-O_{Cu}$	1.940	1.3	1.3	1.949	1.27	1.27
$S_3 Cu1-O_{Cu1}$	1.948	1.27	1.27			
$S_4 Cu-O'_{Cu}$	1.957	1.25	1.25	1.949	1.27	1.27
$S_5 Cu-O_{Ba}$	2.211	0.9	0	2.478	0.3	0
$S_6 O_{Cu}-Gd$	2.422	0.45	0	2.421	0.45	0
$O'_{Cu}-Gd$	2.456	0.45	0	2.421	0.45	0
$S_7 Ba-O_{Ba}$	2.744	0.27	0.27	2.790	0.25	0.25
$S_8 Ba-O_{Cu1}$	2.875	0.23	0			
$S_9 O_{Cu}-O_{Cu}$	2.877	0.2	0	2.906	0.2	0
$O'_{Cu}-O'_{Cu}$	3.064	0.2	0	2.906	0.2	0
$S_{10} Ba-O'_{Cu}$	2.902	0.22	0	2.905	0.22	0
$S_{11} Ba-O_{Cu}$	2.991	0.2	0	2.905	0.22	0
$S_{12} Gd-Cu$	3.231	0.1	0	3.210	0.1	0
$S_{13} Ba-Cu1$	3.473	0.2	0	3.571	0.2	0
$S_{14} Ba-Ba$	3.840	0.1	0.1	3.872	0.1	0.1
Ba-Ba	3.896	0.1	0.1	3.872	0.1	0.1
$S_{15} Cu1-Cu1$	3.840	0.1	0.1	3.872	0.1	0.1
Cu1-Cu1	3.896	0.1	0.1	3.872	0.1	0.1
$B_1 O_{Cu}-Cu-O'_{Cu}$	89.2	0.45	0.45	89.2	0.45	0.45
$B_2 O_{Ba}-Cu1-O_{Cu1}$	90.0	0.45	0			
$B_3 O_{Ba}-Cu-O'_{Cu}$	95.5	0.15	0	96.6	0.25	0
$O_{Ba}-Cu-O_{Cu}$	98.3	0.15	0	96.6	0.25	0
$H_1 O_{Ba}-Cu1/Cu1-O_{Ba}$		-0.05	0		-0.4	0
$H_2 O_{Cu}-Gd/Gd-O_{Cu}$		0.13	0		0.14	0

* Константы S_i , H_i измеряются в mdyn/Å, а B_i — в mdyn·Å.

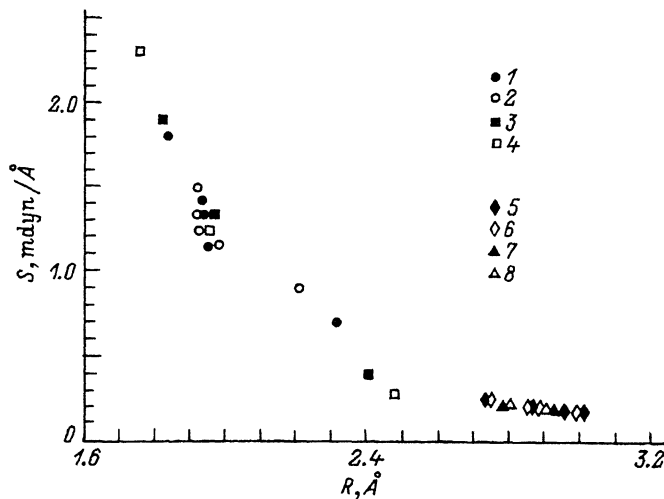


Рис. 4. Зависимость величин силовых констант $S(\text{Cu} - \text{O})$ (1-4) и $S(\text{Ba} - \text{O})$ (5-8) от межатомного расстояния в соединениях $\text{YBa}_2\text{Cu}_3\text{O}_7$ [1] (1, 5), $\text{YBa}_2\text{Cu}_3\text{O}_6$ [2] (3, 7), $\text{GdBa}_2\text{Cu}_3\text{O}_7$ (2, 6) и $\text{GdBa}_2\text{Cu}_3\text{O}_6$ (4, 8).

единений $\text{YBa}_2\text{Cu}_3\text{O}_7$ [1] и $\text{YBa}_2\text{Cu}_3\text{O}_6$ [2]. Формульный аппарат, положенный в основу этой программы, частично приведен в работе [2]. В рамках предложенной в [1,2] модели потенциальной функции соединений $\text{YBa}_2\text{Cu}_3\text{O}_{7-\delta}$, которая содержит относительно небольшое число подгоночных параметров, удалось с хорошей точностью воспроизвести значительно большее число экспериментальных данных, включая значения оптических частот в центре ЗБ и их зависимости от состава, а также величины упругих постоянных C_{ik} и необычное поведение кристаллической решетки (123) в условиях гидростатического давления.

Потенциальные функции кристаллов $\text{GdBa}_2\text{Cu}_3\text{O}_7$ и $\text{GdBa}_2\text{Cu}_3\text{O}_6$, так же как и $\text{YBa}_2\text{Cu}_3\text{O}_{7-\delta}$, описывались однотипно в приближении валентно-силового поля общего вида. Набор силовых констант, приведенный в табл. 2, включал константы S_i , описывающие диагональные двухцентровые взаимодействия на расстояниях не более 3.9 Å, константы B_i , описывающие диагональные трехцентровые взаимодействия (в нашем случае — жесткости углов O-Cu-O) и две недиагональные константы H_i , описывающие динамическое взаимодействие связей, имеющих общий атом.

При определении значений силовых констант принимались во внимание два обстоятельства. Во-первых, соответствие расчетных значений частот в центре ЗБ экспериментально измеренным (рис. 2) и, во-вторых, учет зависимостей силовых констант $S(\text{Cu}-\text{O})$ и $S(\text{Ba}-\text{O})$ от расстояния, полученных ранее для системы $\text{YBa}_2\text{Cu}_3\text{O}_{7-\delta}$ [2]. Эти зависимости представлены на рис. 4. Видно, что значения силовых констант для всех четырех соединений $\text{YBa}_2\text{Cu}_3\text{O}_7$, $\text{YBa}_2\text{Cu}_3\text{O}_6$, $\text{GdBa}_2\text{Cu}_3\text{O}_7$, $\text{GdBa}_2\text{Cu}_3\text{O}_6$, укладываются на общие кривые эмпирических зависимостей величин $S(\text{Cu}-\text{O})$ и $S(\text{Ba}-\text{O})$ от расстояния. Следовательно, оба набора силовых констант являются самосогласованными, и число независимых подгоночных параметров следует считать существенно меньшим числа силовых констант, приведенных в табл. 2.

4. Внутрислоевые и межслоевые оптические моды кристаллических решеток $\text{GdBa}_2\text{Cu}_3\text{O}_{7-\delta}$

На основании подробного анализа фононного спектра слоистых перовскито-подобных соединений было показано [1–3], что для кристаллов $\text{YBa}_2\text{Cu}_3\text{O}_7$ (симметрия D_{2h}^1) набор колебаний в центре ЗБ имеет вид

$$\begin{aligned}\Gamma &= 3\Gamma_{\text{ac}} + 15\Gamma_{\text{inter}} + 21\Gamma_{\text{intra}} = \\ &= [B_{1u} + B_{2u} + B_{3u}]_{\text{ac}} + \\ &+ [2A_g + 2B_{2g} + 2B_{3g} + 3B_{1u} + 3B_{2u} + 3B_{3u}]_{\text{inter}} + \\ &+ [3A_g + 3B_{2g} + 3B_{3g} + 4B_{1u} + 4B_{2u} + 4B_{3u}]_{\text{intra}}.\end{aligned}\quad (2)$$

Соответствующее выражение для кристаллов $\text{YBa}_2\text{Cu}_3\text{O}_6$ (симметрия D_{4h}^1) представимо в виде:

$$\begin{aligned}\Gamma &= 3\Gamma_{\text{ac}} + 15\Gamma_{\text{inter}} + 18\Gamma_{\text{intra}} = \\ &= [A_{2u} + E_u]_{\text{ac}} + [2A_{1g} + 2E_g + 3A_{2u} + 3E_u]_{\text{inter}} + \\ &+ [2A_{1g} + B_{1g} + 3E_g + 2A_{2u} + B_{2u} + 3E_u]_{\text{intra}}.\end{aligned}\quad (3)$$

Сопоставим эти соотношения с результатами наших расчетов, которые приведены в табл. 3 для $\text{GdBa}_2\text{Cu}_3\text{O}_7$ и в табл. 4 для $\text{GdBa}_2\text{Cu}_3\text{O}_6$. При этом будем уделять особое внимание формам колебаний (т. е. векторам смещений атомов) в точке Γ и дисперсии ветвей по направлению $\Gamma - Z$, перпендикулярному плоскости слоев.

Наиболее наглядным и простым является анализ колебаний симметрии E_g и E_u в кристалле $\text{GdBa}_2\text{Cu}_3\text{O}_6$. В этом случае смещения атомов происходят по осям x либо y , т. е. в плоскости самих слоев, что и определяет ярко выраженный слоевой характер этих колебаний. Для примера рассмотрим пять колебаний симметрии E_g , которые, согласно формуле (3), должны разделяться на два межслоевых и три внутрислоевых. Из табл. 4 видно, что две низкочастотные моды 64 cm^{-1} и 104 cm^{-1} действительно определяются относительными смещениями слоев BaO_{Ba} и $\text{CuO}_{\text{Cu}}\text{O}'_{\text{Cu}}$ как целых (т. е. атомы в слое смещаются синфазно и имеют близкие амплитуды). Кроме того, эти колебания обладают заметной дисперсией по направлению $\Gamma - Z$. Таким образом, они являются межслоевыми модами.

Три высокочастотные E_g -моды (256 , 342 и 581 cm^{-1}) имеют совсем другой характер. Они определяются смещениями не целых слоев, а отдельных атомов кислорода, принадлежащих какому-то одному слою. Дисперсия у этих колебательных ветвей по направлению $\Gamma - Z$ отсутствует. Такие колебания относятся к внутрислоевым.

Еще одним важным критерием при разделении оптических мод на Γ_{inter} и Γ_{intra} являются результаты расчета колебательных спектров в приближении изолированных слоев. При этом все силовые константы, описывающие межслоевые взаимодействия, приравниваются к нулю, а силовые константы, описывающие внутрислоевые взаимодействия, не изменяются (столбцы «слой» в табл. 2). Результаты, полученные с использованием такой модели потенциальной функции, приведены

Таблица 3

Расчетные значения частот (см^{-1}) в $\Gamma(0, 0, 0)$, $Z(0, 0, 1/2)$, $Y(0, 1/2, 0)$, $M(1/2, 1/2, 0)$ — точках ЗБ и компоненты смещений* атомов в Γ -точке ЗБ для кристаллов $\text{GdBa}_2\text{Cu}_3\text{O}_7$, а также результаты расчета частот в пределе невзаимодействующих слоев

Кристалл				Слой	Смещение атомов в Γ -точке ЗБ кристалла
Γ	Z	Y	M		
1	2	3	4	5	6
A_g					
110	113	128	114	0	$6^z\text{Ba} + (1^z\text{Cu} + 1^z\text{O}_{\text{Cu}} + 1^z\text{O}'_{\text{Cu}})$
153	155	284	254	0	$4^z\text{O}_{\text{Ba}} + (9^z\text{Cu} + 1^z\text{O}_{\text{Cu}})$
325	325	330	336	60	$13^z\text{O}_{\text{Cu}} - 12^z\text{O}'_{\text{Cu}}$
436	436	486	508	94	$12^z\text{O}_{\text{Cu}} + 13^z\text{O}'_{\text{Cu}} - 1^z\text{O}_{\text{Ba}}$
510	510	509	514	29	$17^z\text{O}_{\text{Ba}} - 2^z\text{Cu}$
B_{2g}					
77	90	118	97	0	$(5^x\text{Ba} + 5^x\text{O}_{\text{Ba}}) + (4^x\text{Cu} + 4^x\text{O}_{\text{Cu}} + 3^x\text{O}'_{\text{Cu}})$
104	98	118	221	0	$(3^x\text{Ba} + 3^x\text{O}_{\text{Ba}}) - (6^x\text{Cu} + 7^x\text{O}_{\text{Cu}} + 3^x\text{O}'_{\text{Cu}})$
263	263	250	259	250	$17^x\text{O}_{\text{Ba}} - 2^x\text{Ba} - 1^x\text{O}'_{\text{Cu}}$
340	340	334	372	241	$17^x\text{O}'_{\text{Cu}} - 3^x\text{O}_{\text{Cu}} - 1^x\text{Cu}$
585	585	585	575	584	$16^x\text{O}_{\text{Cu}} - 4^x\text{Cu} + 1^x\text{O}'_{\text{Cu}}$
B_{3g}					
77	87	96	108	0	$(5^y\text{Ba} + 4^y\text{O}_{\text{Ba}}) + (4^y\text{Cu} + 3^y\text{O}_{\text{Cu}} + 4^y\text{O}'_{\text{Cu}})$
102	99	128	117	0	$(3^y\text{Ba} + 2^y\text{O}_{\text{Ba}}) - (7^y\text{Cu} + 4^y\text{O}_{\text{Cu}} + 7^y\text{O}'_{\text{Cu}})$
308	308	274	300	254	$17^y\text{O}_{\text{Ba}} - 1^y\text{Ba} - 2^y\text{O}_{\text{Cu}}$
342	342	368	406	245	$17^y\text{O}_{\text{Cu}} - 3^y\text{O}'_{\text{Cu}} - 1^y\text{Cu} + 1^y\text{O}_{\text{Ba}}$
577	577	575	521	576	$16^y\text{O}'_{\text{Cu}} - 4^y\text{Cu} + 1^y\text{O}_{\text{Cu}}$
B_{1u}					
102	66	101	113	0	$6^z\text{Gd} - (3^z\text{Ba} + 1^z\text{O}_{\text{Ba}}) - 2^z\text{Cu}1 - 3^z\text{O}_{\text{Cu}1} + (2^z\text{O}_{\text{Cu}} + 2^z\text{O}'_{\text{Cu}})$
128	126	234	230	0	$-2^z\text{Gd} - 3^z\text{Ba} + 5^z\text{O}_{\text{Ba}} + 4^z\text{Cu}1 + (6^z\text{Cu} - 1^z\text{O}_{\text{Cu}})$
234	239	247	249	0	$1^z\text{Gd} + (8^z\text{Cu}1 + 8^z\text{O}_{\text{Cu}1}) + 5^z\text{O}_{\text{Ba}} - 1^z\text{Ba} - (4^z\text{Cu} + 6^z\text{O}_{\text{Cu}} + 3^z\text{O}'_{\text{Cu}})$
251	251	259	249	60	$13^z\text{O}_{\text{Cu}} - 12^z\text{O}'_{\text{Cu}} - 1^z\text{Cu} + 1^z\text{Cu}1 + 1^z\text{O}_{\text{Cu}1}$
273	270	262	273	94	$10^z\text{O}_{\text{Cu}} + 12^z\text{O}'_{\text{Cu}} - 2^z\text{Cu} - 2^z\text{Gd} + 3^z\text{Cu}1 + 2^z\text{O}_{\text{Cu}1} - 1^z\text{Ba} + 1^z\text{O}_{\text{Ba}}$
337	337	362	310	0	$23^z\text{O}_{\text{Cu}1} - 3^z\text{O}_{\text{Ba}} - 1^z\text{Ba} - 4^z\text{Cu}1 + 1^z\text{Cu}$
576	576	513	513	29	$15^z\text{O}_{\text{Ba}} - 6^z\text{Cu}1 + 1^z\text{O}_{\text{Cu}1} - 1^z\text{Cu}$

* Приведены округленные до целых значений амплитуды смещений атомов. Смещения атомов с амплитудами менее 0.5 не указаны. Приведены смещения атомов, принадлежащих верхней половине элементарной ячейки. Зеркально-симметричные атомы нижней половины смещаются в фазе с ними в случае нечетных колебаний и в противофазе в случае четных.

Таблица 3 (продолжение)

1	2	3	4	5	6
<i>B_{3u}</i>					
62	37	106	97	0	$4^x \text{Gd} - (3^x \text{Ba} + 3^x \text{O}_{\text{Ba}}) - (5^x \text{Cu}_1 + 4^x \text{O}_{\text{Cu}_1}) + (4^x \text{Cu} + 4^x \text{O}_{\text{Cu}} + 3^x \text{O}'_{\text{Cu}})$
124	127	114	148	0	$5^x \text{Gd} - (1^x \text{Ba} + 2^x \text{O}_{\text{Ba}}) + (7^x \text{Cu}_1 - 2^x \text{O}_{\text{Cu}_1}) - (4^x \text{Cu} + 4^x \text{O}_{\text{Cu}})$
128	127	118	218	0	$3^x \text{Gd} - (4^x \text{Cu} + 4^x \text{O}_{\text{Cu}}) + (2^x \text{Ba} + 2^x \text{O}_{\text{Ba}}) - (9^x \text{Cu}_1 + 4^x \text{O}_{\text{Cu}_1})$
214	214	217	275	0	$24^x \text{O}_{\text{Cu}_1} - 1^x \text{Ba} - 4^x \text{O}_{\text{Ba}}$
264	264	250	285	250	$16^x \text{O}_{\text{Ba}} - 2^x \text{Ba} - 1^x \text{O}'_{\text{Cu}} + 3^x \text{O}_{\text{Cu}_1}$
344	344	339	344	241	$17^x \text{O}'_{\text{Cu}} - 2^x \text{O}_{\text{Cu}} - 1^x \text{Cu} - 1^x \text{Gd}$
585	585	585	523	584	$16^x \text{O}_{\text{Cu}} - 4^x \text{Cu} + 1^x \text{O}'_{\text{Cu}}$
<i>B_{2u}</i>					
61	37	103	93	0	$4^y \text{Gd} - (4^y \text{Cu}_1 + 4^y \text{O}_{\text{Cu}_1}) - (3^y \text{Ba} + 3^y \text{O}_{\text{Ba}}) + (4^y \text{Cu} + 3^y \text{O}_{\text{Cu}} + 4^y \text{O}'_{\text{Cu}})$
128	128	155	161	0	$5^y \text{Gd} - 6^y \text{Cu} + 6^y \text{O}'_{\text{Cu}} + 1^y \text{O}_{\text{Cu}}$
152	152	274	248	0	$(9^y \text{Cu}_1 + 10^y \text{O}_{\text{Cu}_1}) - 3^y \text{Ba} + 1^y \text{O}_{\text{Ba}}$
312	312	323	294	254	$17^y \text{O}_{\text{Ba}} - 1^y \text{Ba} - 2^y \text{Cu}_1 - 3^y \text{O}_{\text{Cu}_1} - 1^y \text{O}_{\text{Cu}}$
347	347	345	347	245	$17^y \text{O}_{\text{Cu}} - 2^y \text{O}'_{\text{Cu}} - 1^y \text{Cu} - 1^y \text{Gd} + 1^y \text{O}_{\text{Ba}}$
577	577	515	519	576	$16^y \text{O}'_{\text{Cu}} - 4^y \text{Cu} + 1^y \text{O}_{\text{Cu}}$
586	586	519	548	581	$22^y \text{O}_{\text{Cu}_1} - 6^y \text{Cu}_1 + 1^y \text{O}_{\text{Ba}}$

Таблица 4

Расчетные значения частот (cm^{-1}) в $\Gamma(0, 0, 0)$, $Z(0, 0, 1/2)$, $Y(0, 1/2, 0)$, $M(1/2, 1/2, 0)$ — точках ЗБ и компоненты смещений* атомов в Γ -точке ЗБ для кристаллов $\text{GdBa}_2\text{Cu}_3\text{O}_6$, а также результаты расчета частот в пределе невзаимодействующих слоев

Кристалл				Слой	Смещение атомов в Γ -точке ЗБ кристалла	6
Γ	Z	Y	M			
1	2	3	4	5		
<i>A_{1g}</i>						
98	104	125	101	0	$6^z \text{Ba} + (1^z \text{Cu} + 1^z \text{O}_{\text{Cu}} + 1^z \text{O}'_{\text{Cu}})$	
135	139	240	246	0	$(1^z \text{O}_{\text{Ba}} - 1^z \text{Ba}) + (9^z \text{Cu} + 1^z \text{O}_{\text{Cu}} + 1^z \text{O}'_{\text{Cu}})$	
445	445	488	488	85	$12^z \text{O}_{\text{Cu}} + 12^z \text{O}'_{\text{Cu}} - 1^z \text{O}_{\text{Ba}} - 1^z \text{Cu}$	
488	488	491	518	66	$18^z \text{O}_{\text{Ba}} - 1^z \text{Cu}$	
<i>B_{1g}</i>						
331	331	331	292	60	$12^z \text{O}_{\text{Cu}} - 12^z \text{O}'_{\text{Cu}}$	

* Приведены округленные до целых значений амплитуды смещений атомов. Смещения атомов с амплитудами менее 0.5 не указаны. Приведены смещения атомов, принадлежащих верхней половине элементарной ячейки. Зеркально-симметричные атомы нижней половины смещаются в фазе с ними в случае нечетных колебаний и в противофазе в случае четных. Для E_g и E_u — колебаний приведены x -компоненты смещений атомов.

Таблица 4 (продолжение)

1	2	3	4	5	6
<i>E_g</i>					
64	39	104, 88	99, 99	0	$(4^x \text{Ba} + 4^x \text{O}_{\text{Ba}}) + (2^x \text{Cu} + 2^x \text{O}_{\text{Cu}} + 2^x \text{O}'_{\text{Cu}})$
104	100	120, 122	224, 107	0	$(2^x \text{Ba} + 1^x \text{O}_{\text{Ba}}) - (5^x \text{Cu} + 5^x \text{O}_{\text{Cu}} + 2^x \text{O}'_{\text{Cu}})$
256	256	245, 265	251, 278	239	$12^x \text{O}_{\text{Ba}} - 1^x \text{Ba} - 1^x \text{O}'_{\text{Cu}}$
342	342	336, 361	303, 407	243	$12^x \text{O}'_{\text{Cu}} - 2^x \text{O}_{\text{Cu}} - 1^x \text{Cu}$
581	581	581, 517	516, 517	579	$11^x \text{O}_{\text{Cu}} - 3^x \text{Cu} + 1^x \text{O}'_{\text{Cu}}$
<i>A_{2u}</i>					
98	68	91	105	0	$6^z \text{Gd} - (3^z \text{Ba} + 2^z \text{O}_{\text{Ba}}) - 1^z \text{Cu} + 1^z \text{O}_{\text{Cu}} +$ $+ 1^z \text{O}'_{\text{Cu}} - 3^z \text{Cu}1$
128	125	183	174	0	$3^z \text{Gd} + (3^z \text{Ba} - 4^z \text{O}_{\text{Ba}}) - 4^z \text{Cu}1 - 6^z \text{Cu}$
176	179	227	224	0	$2^z \text{Gd} + (8^z \text{O}_{\text{Ba}} - 1^z \text{Ba}) + 8^z \text{Cu}1 -$ $- (4^z \text{Cu} + 2^z \text{O}_{\text{Cu}} + 2^z \text{O}'_{\text{Cu}})$
278	277	279	303	85	$12^z \text{O}_{\text{Cu}} + 12^z \text{O}'_{\text{Cu}} - 2^z \text{Gd} - 1^z \text{Ba} +$ $+ 1^z \text{Cu}1 - 2^z \text{Cu}$
679	679	679	679	66	$15^z \text{O}_{\text{Ba}} - 7^z \text{Cu}1$
<i>B_{2u}</i>					
259	259	270	278	60	$12^z \text{O}_{\text{Cu}} - 12^z \text{O}'_{\text{Cu}}$
<i>E_u</i>					
65	81	87, 106	97, 97	0	$3^x \text{Gd} - (2^x \text{Ba} + 2^x \text{O}_{\text{Ba}}) - 4^x \text{Cu}1 +$ $+ (2^x \text{Cu} + 2^x \text{O}_{\text{Cu}} + 2^x \text{O}'_{\text{Cu}})$
124	126	139, 112	132, 159	0	$3^x \text{Gd} - (1^x \text{Ba} + 2^x \text{O}_{\text{Ba}}) + 6^x \text{Cu}1 -$ $- (2^x \text{Cu} + 2^x \text{O}_{\text{Cu}})$
129	127	161, 120	159, 246	0	$3^x \text{Gd} - (4^x \text{Cu} + 4^x \text{O}_{\text{Cu}}) +$ $+ (1^x \text{O}_{\text{Ba}} + 1^x \text{Ba}) - 4^x \text{Cu}1$
256	256	285, 245	292, 251	239	$12^x \text{O}_{\text{Ba}} - 1^x \text{Ba} - 1^x \text{O}'_{\text{Cu}}$
347	347	337, 341	344, 344	243	$12^x \text{O}'_{\text{Cu}} - 2^x \text{O}_{\text{Cu}} - 1^x \text{Cu} - 1^x \text{Gd}$
581	581	517, 581	561, 516	579	$11^x \text{O}_{\text{Cu}} - 3^x \text{Cu} + 1^x \text{O}'_{\text{Cu}}$

в столбцах «слой» табл. 3 и 4. Из табл. 4 видно, что частоты двух низкочастотных *E_g*-колебаний обратились в нуль (как и должно быть в случае межслоевых мод), а у трех высокочастотных колебаний существенно не изменились, что свидетельствует об их внутрислоевой природе. Полученные результаты для колебаний симметрии *E_g* кристаллической решетки $\text{GdBa}_2\text{Cu}_3\text{O}_6$ показывают, что их разделение на $2\Gamma_{\text{inter}} + 3\Gamma_{\text{intra}}$ является физически содержательным.

Аналогичный анализ для колебаний симметрии *E_u* в кристалле $\text{YBa}_2\text{Cu}_3\text{O}_6$ и колебаний *B_{2g}*, *B_{3g}*, *B_{2u}*, *B_{3u}* — в кристалле $\text{YBa}_2\text{Cu}_3\text{O}_7$ позволяет убедиться, что их разделение на Γ_{intra} и Γ_{inter} , согласно формулам (2) и (3), также оправдано.

Рассмотрим теперь колебания атомов по оси z , т. е. перпендикулярно плоскости слоев. Такие колебания имеют симметрию A_g, B_{1u} в кристаллах $\text{GdBa}_2\text{Cu}_3\text{O}_7$ и A_{1g}, B_{1g}, A_{2u} и B_{2u} в кристаллах $\text{GdBa}_2\text{Cu}_3\text{O}_6$. Что касается высокочастотных колебаний, то они обладают свойствами внутрислоевых мод, причем число таких колебаний каждой симметрии совпадает с полученным на основе симметрийного анализа — таблицы 3, 4 и формулы (2), (3). Отличие от обсуждавшихся выше внутрислоевых колебаний атомов по осям x, y состоит в том, что расчетная величина частот внутрислоевых z -колебаний существенно изменяется при переходе от кристалла к изолированному слою (столбцы «слой» в табл. 3, 4). Это свидетельствует о том, что соседние слои оказывают заметное влияние на внутрислоевые колебания атомов в направлении, перпендикулярном слоям. В то же время влияние соседних слоев на внутрислоевые колебания атомов в плоскости самих слоев весьма незначительно.

Низкочастотные центрозонные моды обладают следующими специфическими чертами, позволяющими отнести их к межслоевым колебаниям: наличие дисперсии у соответствующих им ветвей по направлению $\Gamma - Z$; обращение в нуль их частот в расчете, выполненном для изолированных слоев; сложная форма колебаний, в каждом из которых со сравнимыми амплитудами участвуют многие атомы. Однако не для всех этих мод можно выделить слои, смещающиеся как целое друг относительно друга.

Приведенные выше результаты позволяют сделать вывод о том, что колебания атомов по осям x и y , т. е. в плоскости слоев, являются ярко выраженным внутрислоевыми либо межслоевыми модами и влияние соседних слоев на них невелико. В то же время колебания атомов по оси z , т. е. перпендикулярно слоям, подвержены влиянию соседних слоев. Эти взаимодействия в той или иной степени нарушают идеальную форму межслоевых колебаний как смещений целых слоев друг относительно друга.

Анализ колебаний и дисперсии ветвей по $\Gamma - Z$ позволяет утверждать, что наиболее четко межслоевой характер выражен у самых низкочастотных мод, а внутрислоевой — у самых высокочастотных. В среднем диапазоне частот в ряде случаев моды имеют черты и внутрислоевых колебаний.

Отметим различие между выводами, полученными из симметрийного анализа (формула (2)) и динамических расчетов (табл. 3). Три высокочастотных колебаний атомов кислорода в цепочках $\text{Cu}_{10}\text{Cu}_1$ структуры $\text{GdBa}_2\text{Cu}_3\text{O}_7$, согласно данным теоретико-группового анализа, имеют симметрию $B_{1u} + B_{2u} + B_{3u}$ и являются внутрислоевыми модами [1, 3]. Однако из динамических расчетов в слоевом приближении частоты таких колебаний по осям z и x обращаются в нуль, что является признаком межслоевого колебания. Таким образом, в рамках обсуждаемых моделей цепочки атомов $\text{Cu}_{10}\text{Cu}_1$ не могут рассматриваться как отдельный слой.

В остальном и для кристаллов $\text{GdBa}_2\text{Cu}_3\text{O}_7$, и для $\text{GdBa}_2\text{Cu}_3\text{O}_6$ результаты двух независимых методов — симметрийного анализа [1–3] и выполненных в настоящей работе расчетов совпадают. Это подтверждает их объективный характер и эффективность применения слоевого подхода к анализу колебательных спектров перовскитоподобных сверхпроводников и других изоструктурных им соединений.

5. Концентрационное поведение оптических колебаний в системе $\text{GdBa}_2\text{Cu}_3\text{O}_{7-\delta}$

Сопоставим теперь результаты расчета с экспериментальными данными и проанализируем концентрационное поведение различных частот, используя их зависимости от силовых постоянных, полученные в рамках рассматриваемой модели потенциальной функции решетки $\text{GdBa}_2\text{Cu}_3\text{O}_{7-\delta}$. Из рис. 2 видно, что вычисленные частоты хорошо описывают экспериментальные значения. В частности, воспроизведено различное концентрационное поведение колебаний $\nu_1 - \nu_3$: рост ν_1 и ν_2 и уменьшение ν_3 с увеличением δ .

Из расчетов следует, что колебания атомов O_{Ba} (ν_3) определяются в основном тремя константами — $S_1(\text{Cu}1 - \text{O}_{\text{Ba}})$, $S_5(\text{Cu} - \text{O}_{\text{Ba}})$ и $H_1(\text{O}_{\text{Ba}} - \text{Cu}1/\text{Cu}1 - \text{O}_{\text{Ba}})$. При переходе от $\text{GdBa}_2\text{Cu}_3\text{O}_7$ к $\text{GdBa}_2\text{Cu}_3\text{O}_6$ значение S_1 возрастает из-за уменьшения расстояния $\text{Cu}1 - \text{O}_{\text{Ba}}$, величина S_5 уменьшается из-за увеличения расстояния $\text{Cu} - \text{O}_{\text{Ba}}$, а H_1 возрастает по абсолютной величине, но имеет отрицательное значение (табл. 2). Константа H_1 фактически описывает динамическое взаимодействие слоев BaO_{Ba} через слой цепочек $\text{Cu}1\text{O}_{\text{Cu}1}$. С ростом δ при «извлечении» атомов $\text{O}_{\text{Cu}1}$ и уменьшении расстояния $\text{Cu}1 - \text{O}_{\text{Ba}}$ взаимодействие между атомами O_{Ba} возрастает, что и описывается в модели увеличением абсолютного значения H_1 . Уменьшение частоты ν_1 при переходе $\text{GdBa}_2\text{Cu}_3\text{O}_7 \rightarrow \text{GdBa}_2\text{Cu}_3\text{O}_6$ обусловлено уменьшением S_5 (от 0.9 до 0.3) и H_1 (от -0.05 до -0.4), которое компенсирует рост S_1 (от 1.5 до 2.3).

Таким образом, расчетная частота синфазных колебаний атомов O_{Ba} по оси z при увеличении δ уменьшается, что и наблюдается экспериментально в спектрах КР. В то же время частота противофазных колебаний этих же атомов O_{Ba} по оси z , согласно расчетам, должна увеличиваться. Эти колебания в $\text{GdBa}_2\text{Cu}_3\text{O}_7$ имеют симметрию B_{1u} , а в $\text{GdBa}_2\text{Cu}_3\text{O}_6$ — симметрию A_{2u} и активны в инфракрасных спектрах. Такое поведение действительно наблюдалось при исследовании ИК спектров изоморфных соединений $\text{YBa}_2\text{Cu}_3\text{O}_{7-\delta}$ [11]. Различие в концентрационном поведении частот четных и нечетных колебаний O_{Ba} связано с тем, что хотя они в основном определяются одними и теми же константами — S_1 , S_5 и H_1 , величина H_1 играет роль расщепляющего фактора, так как входит в соответствующие выражения с разными знаками — с плюсом для четного и с минусом для нечетного.

Частоты ν_1 и ν_2 колебаний атомов O_{Cu} , O'_{Cu} определяются целым набором констант, а именно — S_6 , S_9 , S_{10} , S_{11} и H_2 . Уменьшение межатомных расстояний $\text{O}_{\text{Cu}} - \text{Gd}$, $\text{O}'_{\text{Cu}} - \text{Gd}$ в $\text{GdBa}_2\text{Cu}_3\text{O}_6$ по сравнению с $\text{GdBa}_2\text{Cu}_3\text{O}_7$ обусловливает увеличение ряда констант (табл. 2), что и приводит к соответствующему возрастанию частот ν_1 и ν_2 .

Таким образом, в рамках рассматриваемой модели потенциальной функции решетки $\text{GdBa}_2\text{Cu}_3\text{O}_{7-\delta}$ было описано концентрационное поведение колебаний, обусловленное анизотропной «волнообразной» перестройкой структуры при изменении содержания кислорода.

Совпадение результатов двух независимых подходов (динамических расчетов и симметрийного анализа) подтверждает применимость слоевого подхода к описанию фононной подсистемы слоистых перовскито-подобных соединений.

Авторы благодарят Ю.Э.Китаева за обсуждение результатов работы и М.Б.Смирнова за помощь в проведении расчетов.

Работа выполнена в рамках проекта IV-95-02-06132а Российского фонда фундаментальных исследований.

Список литературы

- [1] Kitaev Yu.E., Limonov M.F., Panfilov A.G., Evarestov R.A., Mirgorodsky A.P. Phys. Rev. **B 49**, 14, 9933 (1994).
- [2] Лимонов М.Ф., Миргородский А.П. ЖЭТФ **106**, 6(12), 1794 (1994).
- [3] Китаев Ю.Э., Лимонов М.Ф., Миргородский А.П., Панфилов А.Г., Эварестов Р.А. ФТТ **36**, 4, 865 (1994).
- [4] Cardona M., Liu R., Thomsen C., Bauer M., Genzel L., Konig W., Wittlin A. Solid State Commun. **65**, 71 (1988).
- [5] Limonov M.F., Markov Yu.F., Panfilov A.G., Razbirin B.S., Syrnikov P.P., Bush A.A. Physica **C 191**, 255 (1992).
- [6] Гончарук И.Н., Лимонов М.Ф., Марков Ю.Ф., Новиков А.А., Сырников П.П., Буш А.А. СФХТ **4**, 9, 1741 (1991).
- [7] Fernandes A.A.R., Santamaria J., Bud'ko S.L., Nakamura O., Guimpel J., Schuller I.K. Phys. Rev. **B 44**, 14, 7601 (1991).
- [8] Campa J.A., Gomez de Salazar J.M., Gutierrez-Puebla E., Monge M.A., Rasines I., Ruiz-Valero C. Phys. Rev. **B 37**, 1, 529 (1988).
- [9] Молчанов В.Н., Мурадян Л.А., Симонов В.И. Письма в ЖЭТФ **49**, 4, 222 (1989).
- [10] Смирнов М.Б. Опт. и спектр. **65**, 311 (1988).
- [11] Баженов А.В., Тимофеев В.Б. СФХТ **3**, 6, 1174 (1990).